

## 低轮 PUFFIN 算法的积分攻击\*

赵光耀<sup>1</sup>, 成磊<sup>2</sup>, 李瑞林<sup>3</sup>, 李超<sup>1,2</sup>, 孙兵<sup>2</sup>

(1. 国防科技大学 计算机学院, 湖南长沙 410073; 2. 国防科技大学 理学院, 湖南长沙 410073;  
3. 国防科技大学 电子科学与工程学院, 湖南长沙 410073)

**摘要:** PUFFIN 是一个分组长度为 64bit 的轻量级分组密码算法, 其密钥长度为 128bit。对 PUFFIN 抵抗积分攻击的能力进行研究, 构造并证明 PUFFIN 算法存在 5 轮和 6 轮积分区分器。利用 6 轮积分区分器对 8 轮 PUFFIN 进行积分攻击, 可恢复 2 轮共 100bit 轮密钥, 攻击的数据复杂度为  $2^{20}$  个选择明文, 时间复杂度约为  $2^{33}$  次 8 轮加密, 存储复杂度为  $2^{20}$ , 这是目前为止对 PUFFIN 最好的积分分析结果。

**关键词:** PUFFIN; 轻量级分组密码; 积分攻击

**中图分类号:** TN918 **文献标志码:** A **文章编号:** 1001-2486(2015)06-129-06

## Integral cryptanalysis on reduced-round PUFFIN

ZHAO Guangyao<sup>1</sup>, CHENG Lei<sup>2</sup>, LI Ruilin<sup>3</sup>, LI Chao<sup>1,2</sup>, SUN Bing<sup>2</sup>

(1. College of Computer, National University of Defense Technology, Changsha 410073, China;  
2. College of Science, National University of Defense Technology, Changsha 410073, China;  
3. College of Electronic Science and Engineering, National University of Defense Technology, Changsha 410073, China)

**Abstract:** PUFFIN is a lightweight block cipher, in which the block length is 64 bit while the key size is 128 bit. The integral cryptanalysis resistance ability of PUFFIN was analyzed. The existence of 5 and 6 round integral distinguisher in PUFFIN was constructed and proved. An integral attack on 8 round PUFFIN was mounted by 6 round integral distinguisher to recover 2 round 100 bit round cipher. The data complexity of the attack is  $2^{20}$  chosen plaintexts, the time complexity is about  $2^{33}$  8 round encryptions, and the space complexity is  $2^{20}$ . This has been the best integral attack on PUFFIN up to now.

**Key words:** PUFFIN; lightweight block cipher; integral attack

随着物联网等应用的兴起,适用于资源受限环境的轻量级密码算法得到了飞速发展,密码学者根据不同的应用需求设计了许多轻量级算法,例如 HIGHT<sup>[1]</sup>, LBlock<sup>[2]</sup>, LED<sup>[3]</sup>, PRESENT<sup>[4]</sup> 等。PUFFIN<sup>[5]</sup> 也是一种轻量级分组密码算法,采用混淆扩散网络结构 (Substitution Permutation Networks, SPN) 型结构,其分组长度为 64bit,密钥长度为 128bit。非线性层由 16 个相同的  $4 \times 4$  的 S 盒并置组成,线性层则为 64bit 置换,其 S 盒及 P 置换均为对合结构,使得其加解密结构一致,硬件实现时占用芯片面积非常小。文献[5]中,设计者对 PUFFIN 抵抗差分分析<sup>[6]</sup>、线性分析<sup>[7]</sup>、相关密钥攻击<sup>[8]</sup>的能力进行了分析,并分析了算法的弱密钥<sup>[9]</sup>,目前对 PUFFIN 的第三方安全性分析结果主要有线性分析<sup>[10]</sup>和积分攻击<sup>[11]</sup>。文

献[10]主要分析了 PUFFIN 的线性特征,并对其进行了线性攻击;文献[11]则首次对 PUFFIN 抵抗积分攻击的安全性进行了研究。

积分攻击<sup>[12]</sup>的原理由 Knudsen 和 Wagner 提出。自提出以后,积分攻击在许多基于字节设计的算法上得到了很好的应用,例如 Camellia<sup>[13]</sup>, CLEFIA<sup>[14]</sup> 等。Z'aba 等针对 Noekeon, Serpent, Present 等基于比特设计的算法对积分攻击进行了扩展,提出了基于比特的积分攻击<sup>[15]</sup>。

### 1 基础理论

#### 1.1 PUFFIN 简介

PUFFIN 为 SPN 型结构分组密码算法,其分组长度和密钥长度分别为 64bit 和 128bit,迭代 32

\* 收稿日期:2015-01-12

基金项目:国家自然科学基金资助项目(61402515);信息保障技术国家重点实验室开放基金资助项目(KJ-14-003)

作者简介:赵光耀(1982—),男,湖南湘潭人,博士研究生,E-mail:securityzy@163.com;

孙兵(通信作者),男,讲师,博士,E-mail:happy\_come@163.com

轮。64bit 明文(中间状态,轮密钥及密文)排列成一个 4 行 16 列的二维数组形式,即  $p_0, p_1, \dots, p_{63}$  可表示成  $V_0, V_1, \dots, V_{15}$  共 16 个向量,其中  $V_i = (p_{4i}, p_{4i+1}, p_{4i+2}, p_{4i+3})^T, 0 \leq i \leq 15$ , 如图 1 所示。

$V_0$	$V_1$	$V_2$	$V_3$	$V_4$	$V_5$	$V_6$	$V_7$	$V_8$	$V_9$	$V_{10}$	$V_{11}$	$V_{12}$	$V_{13}$	$V_{14}$	$V_{15}$
$p_0$	$p_4$	$p_8$	$p_{12}$	$p_{16}$	$p_{20}$	$p_{24}$	$p_{28}$	$p_{32}$	$p_{36}$	$p_{40}$	$p_{44}$	$p_{48}$	$p_{52}$	$p_{56}$	$p_{60}$
$p_1$	$p_5$	$p_9$	$p_{13}$	$p_{17}$	$p_{21}$	$p_{25}$	$p_{29}$	$p_{33}$	$p_{37}$	$p_{41}$	$p_{45}$	$p_{49}$	$p_{53}$	$p_{57}$	$p_{61}$
$p_2$	$p_6$	$p_{10}$	$p_{14}$	$p_{18}$	$p_{22}$	$p_{26}$	$p_{30}$	$p_{34}$	$p_{38}$	$p_{42}$	$p_{46}$	$p_{50}$	$p_{54}$	$p_{58}$	$p_{62}$
$p_3$	$p_7$	$p_{11}$	$p_{15}$	$p_{19}$	$p_{23}$	$p_{27}$	$p_{31}$	$p_{35}$	$p_{39}$	$p_{43}$	$p_{47}$	$p_{51}$	$p_{55}$	$p_{59}$	$p_{63}$

图 1 PUFFIN 分组比特顺序  
Fig. 1 Block state of PUFFIN

轮函数包含以下 3 个变换:

1) 非线性层  $\gamma$  由 16 个相同的  $4 \times 4$  的 S 盒并置组成,每列 ( $V_i$ ) 通过 1 个 S 盒。S 盒映射见表 1。

表 1 S 盒映射(16 进制表示)  
Tab. 1 S box map (in hexadecimal)

$x$	0	1	2	3	4	5	6	7	8	9	A	B	C	D	E	F
$S(x)$	D	7	3	2	9	A	C	1	F	4	5	E	6	0	B	8

**性质(S 盒表达式)** 设  $x = (x_3, x_2, x_1, x_0)$  和  $y = (y_3, y_2, y_1, y_0)$  分别表示 S 盒的输入和输出(如图 2 所示),则  $x$  和  $y$  满足:

$$y_0 = x_0x_1x_2 + x_0x_1x_3 + x_0x_1 + x_0x_2 + x_0x_3 + x_1x_2 + x_2x_3 + 1,$$

$$y_1 = x_0x_1x_3 + x_0x_1 + x_0 + x_1x_2 + x_1 + x_3,$$

$$y_2 = x_0x_1x_2 + x_0x_2x_3 + x_1x_2x_3 + x_1x_3 + x_1 + x_2x_3 + x_2 + 1,$$

$$y_3 = x_0x_1x_3 + x_0x_1 + x_0x_2 + x_0 + x_1x_2x_3 + x_1x_2 + x_1 + x_2x_3 + 1.$$

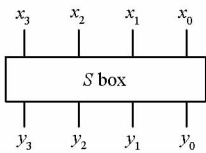


图 2 S 盒的输入输出

Fig. 2 Input and output of S box

2) 密钥加  $\sigma$ : 64bit 的轮密钥与 64bit 的状态进行异或。

3) 线性层进行 P64: 64bit 的一个置换,其映射见表 2。变换输入为(行标  $\times 8 +$  列标  $+ 1$ ),如表 2 中  $(0, 0)$  位置对应的元素为 13,即  $P64(0 \times 8 + 0 + 1) = P64(1) = 13$ 。

加密之初,首先进行密钥白化以及一个 P64 转换,然后进行 32 轮轮函数的迭代,所以 PUFFIN

加密过程可表示为

$$\prod_{r=1}^{32} (P64 \circ \sigma_{k_r} \circ \gamma) \circ P64 \circ \sigma_{k_0}$$

值得注意的是,PUFFIN 算法中的组件 S 盒及 P64 均为对合的,即  $S(S(x)) = x, P64(P64(y)) = y$ ,其中  $x \in F_2^4, y \in F_2^{64}$ 。

表 2 P64 映射

Tab. 2 P64 map

	0	1	2	3	4	5	6	7
0	13	2	60	50	51	27	10	36
1	25	7	32	61	1	49	47	19
2	34	53	16	22	57	20	48	41
3	9	52	6	31	62	30	28	11
4	37	17	58	8	33	44	46	59
5	24	55	63	38	56	39	15	23
6	14	4	5	26	18	54	42	45
7	21	35	40	3	12	29	43	64

### 1.2 基于比特的积分攻击

Z'aba 等提出的基于比特的积分,实际上是基于计数方法来进行的,通过统计每个比特上不同元素出现的奇偶次数来判断其平衡性。实际上,通过布尔函数的最高次项系数取值也可以判定其平衡性。

**定理 1**<sup>[16]</sup> 设多项式  $f(x) = \sum_{i=0}^{q-1} a_i x^i \in F_q[x]$ ,其中  $q$  是某个素数的方幂,则

$$\sum_{x \in F_q} f(x) = -a_{q-1}.$$

**定理 2**<sup>[16]</sup> 若多项式  $f(x) = \sum_{i=0}^{q-1} a_i x^i \in F_q[x]$  是置换多项式,则  $a_{q-1} = 0$ 。

定理 1 说明,要确定密文某个位置是否平衡,可通过研究该位置密文与明文之间多项式函数的最高项系数来判断。定理 2 则给出了一个判断最高项系数的方法。

设算法分组长度为  $n$ ,其中的  $m$  个比特遍历  $\{0, 1\}^m$ ,记为  $x_0, x_1, \dots, x_{m-1}$ ;其余比特为常数,记作  $c_0, c_1, \dots, c_{n-m-1}$ 。密文每个比特的值都是关于  $x_0, x_1, \dots, x_{m-1}, c_0, c_1, \dots, c_{n-m-1}$  的函数,不妨记作  $f(x_0, x_1, \dots, x_{m-1}, c_0, c_1, \dots, c_{n-m-1})$ ,易知  $f$  是从  $F_2^m$  到  $F_2$  的一个映射。

令  $deg(f)$  表示  $f$  的最高次数,若密文某个比特位置的表达式  $f$  对任意的  $c_0, c_1, \dots, c_{n-m-1}$  都

满足

$$\deg(f) \leq m - 1,$$

则对此位置上出现的所有  $2^m$  个元素  $(g_0, g_1, \dots, g_{2^m-1})$  求和

$$\sum g_i = 0, 0 \leq i \leq 2^m - 1,$$

即对应的多项式函数最高次项系数为 0, 此时该比特是平衡的。

## 2 PUFFIN 的积分攻击

### 2.1 PUFFIN 的 5 轮积分区分器

**定理 3** 设明文为  $P = (p_0, p_1, \dots, p_{63})$ , 则当  $(p_6, p_{24}, p_{31}, p_{60})$  遍历  $\{0, 1\}^4$  时, 5 轮加密后密文有 29 个比特是平衡的。

证明: 当输入明文的活跃位置为  $p_6, p_{24}, p_{31}, p_{60}$  时, 状态可表示为:

0	4	8	12	16	20	24	28	32	36	40	44	48	52	56	60
1	5	9	13	17	21	25	29	33	37	41	45	49	53	57	61
2	6	10	14	18	22	26	30	34	38	42	46	50	54	58	62
3	7	11	15	19	23	27	31	35	39	43	47	51	55	59	63

方格内数字表示比特顺序, 每一轮开始时重新编号。

经过  $P_{64}$  后, 活跃位置将位于同一列, 即为:

12	50	24	0	33	56	8	61	36	32	23	55	13	17	20	11
1	26	6	48	52	19	51	29	16	43	54	38	3	53	34	28
59	9	5	46	15	47	5	27	57	45	62	14	4	41	39	42
49	35	60	18	21	40	30	10	7	58	37	22	25	44	2	63

再经过第 1 轮的  $S$  盒后, 状态为:

0	4	$y_0$	12	16	20	24	28	32	36	40	44	48	52	56	60
1	5	$y_1$	13	17	21	25	29	33	37	41	45	49	53	57	61
2	6	$y_2$	14	18	22	26	30	34	38	42	46	50	54	58	62
3	7	$y_3$	15	19	23	27	31	35	39	43	47	51	55	59	63

记这 4 个位置的变量分别为  $y_0, y_1, y_2, y_3$ , 则经过第 1 轮的  $P_{64}$  后, 状态变为:

12	50	24	0	33	56	$y_0$	61	36	32	23	55	13	17	20	$y_3$
1	26	6	48	52	19	51	29	16	43	54	38	3	53	34	28
59	$y_1$	31	46	15	47	5	27	57	45	62	14	4	41	39	42
49	35	60	18	21	40	30	$y_2$	7	58	37	22	25	44	2	63

灰色底纹标记的位置标注有当前比特表达式的最高次项, 无底纹的位置为常数, 即其取值不受  $y_i$  影响。

经过第 2 轮的  $S$  盒后, 状态变为:

0	$y_1$	8	12	16	20	$y_0$	$y_2$	32	36	40	44	48	52	56	$y_3$
1	$y_1$	9	13	17	21	$y_0$	$y_2$	33	37	41	45	49	53	57	$y_3$
2	$y_1$	10	14	18	22	$y_0$	$y_2$	34	38	42	46	50	54	58	$y_3$
3	$y_1$	11	15	19	23	$y_0$	$y_2$	35	39	43	47	51	55	59	$y_3$

再经过  $P_{64}$  状态为:

12	50	$y_0$	0	33	56	8	61	36	32	23	55	13	17	20	$y_3$
1	$y_0$	$y_1$	48	52	19	51	29	16	43	54	38	3	53	34	28
59	9	$y_2$	46	15	47	$y_1$	27	57	45	62	14	4	41	39	42
49	35	$y_3$	18	21	40	$y_2$	$y_2$	7	58	37	22	25	44	2	63

经过第 3 轮的  $S$  盒后, 依据性质 1, 状态变为:

0	$y_0$	$y_{012}$ $y_{013}$	12	16	20	$y_{12}$	$y_{023}$	$y_1$	36	$y_3$	44	$y_{01}$	52	56	$y_{23}$
1	$y_0$	$y_{013}$	13	17	21	$y_{12}$	$y_{023}$	$y_1$	37	$y_3$	45	$y_{01}$	53	57	$y_{23}$
2	$y_0$	$y_{023}$ $y_{123}$	14	18	22	$y_{12}$	$y_{023}$	$y_1$	38	$y_3$	46	$y_{01}$	54	58	$y_{23}$
3	$y_0$	$y_{013}$ $y_{123}$	15	19	23	$y_{12}$	$y_{023}$	$y_1$	39	$y_3$	47	$y_{01}$	55	59	$y_{23}$

其中  $y_{ijk}$  表示此比特表达式的最高次项为  $y_i y_j y_k, 0 \leq i, j, k \leq 3$ 。第 3 轮的输出状态为:

12	$y_{01}$	$y_{12}$	0	$y_1$	56	$y_{012}$ $y_{013}$	$y_{23}$	36	$y_1$	23	55	13	17	20	$y_{013}$ $y_{123}$
1	$y_{12}$	$y_0$	$y_{01}$	52	19	$y_{01}$	$y_{023}$	16	$y_3$	54	38	3	53	$y_1$	$y_{023}$
59	$y_{013}$	$y_{23}$ $y_{02}$	46	15	47	$y_0$	$y_{12}$	57	45	$y_{23}$	14	$y_0$	$y_3$	39	$y_3$
$y_0$	$y_1$	$y_{23}$	18	21	$y_3$	$y_{023}$	$y_{012}$ $y_{023}$ $y_{123}$	$y_0$	58	37	22	$y_1$ $y_2$	44	2	$y_{23}$

依此类推, 可得第 4 轮的输出状态为:

$y_{01}$	$y_{02}$	$y_{0123}$	$y_0$ $y_1$	$y_0$	$y_1$	$y_{0123}$	$y_{0123}$	$y_{13}$	$y_0$	$y_3$	$y_3$	$y_{01}$	$y_1$	$y_3$	$y_{0123}$
$y_0$	$y_1$	$y_{0123}$	$y_{0123}$	$y_0$ $y_1$	$y_3$	$y_1$	$y_{02}$	$y_{0123}$	$y_1$	$y_{23}$	$y_3$	$y_{13}$	$y_0$	$y_3$	$y_0$ $y_{0123}$
$y_1$	$y_{0123}$	$y_{0123}$	46	$y_{01}$	47	$y_{0123}$	$y_{0123}$	$y_1$	45	$y_{0123}$	$y_{01}$	$y_{0123}$	$y_{23}$	$y_{13}$	$y_{23}$
$y_0$ $y_1$ $y_2$	$y_0$	$y_{0123}$	$y_1$	$y_3$	$y_{23}$	$y_{0123}$	$y_{0123}$	$y_{0123}$	$y_1$	$y_{13}$	$y_3$	$y_{0123}$	44	$y_0$	$y_{0123}$

第 5 轮的输出状态为:

$y_{012}$	$y_{0123}$	$y_{0123}$	$y_{012}$	$y_{0123}$	$y_{013}$	$y_{0123}$	$y_{0123}$	$y_{0123}$	$y_{0123}$	$y_{123}$	$y_{123}$	$y_{012}$	$y_{013}$	$y_{123}$	$y_{0123}$
$y_{012}$	$y_{0123}$	$y_{0123}$	$y_{0123}$	$y_{123}$	$y_{013}$	$y_{0123}$	$y_{0123}$	$y_{013}$	$y_{0123}$	$y_{123}$	$y_{123}$	$y_{012}$	$y_{013}$	$y_{13}$ $y_{23}$	$y_{0123}$
$y_{013}$	$y_{0123}$	$y_{0123}$	$y_{013}$	$y_{012}$	$y_{013}$	$y_{0123}$	$y_{0123}$	$y_{013}$	$y_{013}$	$y_{0123}$	$y_{012}$	$y_{0123}$	$y_{0123}$	$y_{0123}$	$y_{0123}$
$y_{0123}$	$y_{0123}$	$y_{0123}$	$y_{013}$	$y_{123}$	$y_{0123}$	$y_{0123}$	$y_{0123}$	$y_{013}$	$y_{0123}$	$y_{123}$	$y_{0123}$	$y_{0123}$	$y_{013}$	$y_{012}$	$y_{0123}$

综上所述, 当  $(p_6, p_{24}, p_{31}, p_{60})$  遍历  $\{0, 1\}^4$  时,  $(y_0, y_1, y_2, y_3)$  也取遍  $2^4$  个值, 则 5 轮加密后的密文中灰色底纹标记的比特位置关于  $y_0, y_1, y_2, y_3$  的布尔函数  $f(y_0, y_1, y_2, y_3)$ , 满足  $\deg(f) \leq 3$ , 因此这些比特位置平衡。 □

### 2.2 PUFFIN 的 6 轮积分区分器

在 5 轮积分区分器前加 1 轮, 可将其扩展至 6 轮的积分区分器。

**定理 4** 当明文的 16 个比特  $\{p_5, p_8, p_9, p_{10}, p_{11}, p_{26}, p_{27}, p_{28}, p_{29}, p_{30}, p_{35}, p_{42}, p_{50}, p_{51},$

$p_{61}, p_{63}$  遍历  $\{0,1\}^{16}$  时, 6 轮 PUFFIN 算法加密后密文的平衡比特与 2.1 节所述的 5 轮积分区分器输出平衡位置相同。

证明: 如图 3 所示, 当  $\{p_5, p_8, p_9, p_{10}, p_{11}, p_{26}, p_{27}, p_{28}, p_{29}, p_{30}, p_{35}, p_{42}, p_{50}, p_{51}, p_{61}, p_{63}\}$  遍历  $\{0,1\}^{16}$  时, 经过白化和 P64 变换后, 输出状态的  $V_1, V_6, V_7, V_{15}$  的级联遍历  $\{0,1\}^{16}$ , 经过第 1 轮非线性层后, 第 6、第 24、第 31 和第 60 比特遍历  $\{0,1\}^4$ , 从而满足 5 轮积分区分器的输入状态, 故原 5 轮积分区分器的平衡位置在该 6 轮积分区分器中仍然平衡。 □

上述证明说明 5 轮积分区分器的 29 个平衡位置在扩展的 6 轮高阶积分区分器中仍然平衡, 通过实验测试验证, 扩展的 6 轮高阶积分区分器有且仅有这 29 个平衡位置。

	0	4	8	12	16	20	24	28	32	36	40	44	48	52	56	60
	1	5	9	13	17	21	25	29	33	37	41	45	49	53	57	61
	2	6	10	14	18	22	26	30	34	38	42	46	50	54	58	62
	3	7	11	15	19	23	27	31	35	39	43	47	51	55	59	63
P64	12	50	24	0	33	56	8	61	36	32	23	55	13	17	20	11
	1	26	6	48	52	19	51	29	16	43	54	38	3	53	34	28
	59	9	31	46	15	47	5	27	57	45	62	14	4	41	39	42
	49	35	60	18	21	40	30	10	7	58	37	22	25	44	2	63
Round 5	0	4	8	12	16	20	24	28	32	36	40	44	48	52	56	60
	1	5	9	13	17	21	25	29	33	37	41	45	49	53	57	61
	2	6	10	14	18	22	26	30	34	38	42	46	50	54	58	62
	3	7	11	15	19	23	27	31	35	39	43	47	51	55	59	63

图 3 将 5 轮积分区分器扩展至 6 轮积分区分器  
Fig. 3 Extend the 5-round integral distinguisher to the 6-round one

### 2.3 对 8 轮 PUFFIN 的积分攻击

利用 6 轮的高阶积分区分器, 可以对 8 轮的 PUFFIN 进行积分攻击, 从而可获取部分轮密钥信息。如图 4 所示。

攻击的主要思想是通过猜测第 8 轮的轮密钥  $RK^{(8)}$  及第 7 轮的轮密钥  $RK^{(7)}$  的部分比特, 对密文进行部分解密后, 观测第 6 轮输出的对应位置是否平衡来筛选密钥。当选择不同的平衡位置进行密钥筛选时, 能够筛选的  $RK^{(8)}$  和  $RK^{(7)}$  的密钥字 (4bit) 是不同的, 平衡位置与可筛选的密钥字间的对应关系见表 3。

以 44, 45, 46, 47 这 4 个平衡位置为例, 其攻击步骤为:

1) 选择一组明文 (其中  $\{p_5, p_8, p_9, p_{10}, p_{11}, p_{26}, p_{27}, p_{28}, p_{29}, p_{30}, p_{35}, p_{42}, p_{50}, p_{51}, p_{61}, p_{63}\}$  取遍  $\{0,1\}^{16}$ , 其余位置为常数, 故一组明文包含  $2^{16}$  个明文) 进行 8 轮加密, 密文记为  $C_0, C_1, \dots, C_{2^{16}-1}$ 。

	0	4	8	12	16	20	24	28	32	36	40	44	48	52	56	60
	1	5	9	13	17	21	25	29	33	37	41	45	49	53	57	61
	2	6	10	14	18	22	26	30	34	38	42	46	50	54	58	62
Round 6	3	7	11	15	19	23	27	31	35	39	43	47	51	55	59	63
Round 7.S	0	4	8	12	16	20	24	28	32	36	40	44	48	52	56	60
	1	5	9	13	17	21	25	29	33	37	41	45	49	53	57	61
	2	6	10	14	18	22	26	30	34	38	42	46	50	54	58	62
	3	7	11	15	19	23	27	31	35	39	43	47	51	55	59	63
RK <sup>(7)</sup>	12	50	24	0	33	56	8	61	36	32	23	55	13	17	20	11
P64	1	26	6	48	52	19	51	29	16	43	54	38	3	53	34	28
	59	9	31	46	15	47	5	27	57	45	62	14	4	41	39	42
	49	35	60	18	21	40	30	10	7	58	37	22	25	44	2	63
Round 8.S	0	4	8	12	16	20	24	28	32	36	40	44	48	52	56	60
	1	5	9	13	17	21	25	29	33	37	41	45	49	53	57	61
	2	6	10	14	18	22	26	30	34	38	42	46	50	54	58	62
	3	7	11	15	19	23	27	31	35	39	43	47	51	55	59	63
RK <sup>(8)</sup>	12	50	24	0	33	56	8	61	36	32	23	55	13	17	20	11
P64	1	26	6	48	52	19	51	29	16	43	54	38	3	53	34	28
	59	9	31	46	15	47	5	27	57	45	62	14	4	41	39	42
	49	35	60	18	21	40	30	10	7	58	37	22	25	44	2	63

图 4 8 轮 PUFFIN 算法的积分攻击  
Fig. 4 Integral attack on 8-round PUFFIN

表 3 选择平衡位置与可筛选密钥字的对应关系  
Tab. 3 Relationship between balanced positions and nibbles of the recovered round keys

序号	区分器平衡位置	$RK^{(7)}$ (密钥字)	$RK^{(8)}$ (密钥字)	使用 16 组明文时剩余错误密钥期望值 $\bar{N}$
1	44,45,46,47	11	3,5,9,13	$(2^{20}-1) \times (2^{-4})^{16} \approx 2^{-44}$
2	0,1,2	0	0,3,12,14	$(2^{16}-1) \times (2^{-3})^{16} \approx 2^{-32}$
3	12,14,15	3	0,4,11,12	$(2^{12}-1) \times (2^{-3})^{16} \approx 2^{-36}$
4	17,18,19	4	3,5,8,13	$(2^8-1) \times (2^{-3})^{16} \approx 2^{-40}$
5	20,21,22	5	4,10,11,14	$(2^8-1) \times (2^{-3})^{16} \approx 2^{-40}$
6	52,53,55	13	4,10,11,13	$(2^4-1) \times (2^{-3})^{16} \approx 2^{-44}$
7	33,34	8	1,4,9,14	$(2^8-1) \times (2^{-2})^{16} \approx 2^{-24}$
8	38,39	9	8,10,11,14	$(2^4-1) \times (2^{-2})^{16} \approx 2^{-28}$
9	40,41	10	5,9,13,15	$(2^8-1) \times (2^{-2})^{16} \approx 2^{-24}$
10	48,49	12	0,1,3,6	$(2^8-1) \times (2^{-2})^{16} \approx 2^{-24}$
11	56,59	14	0,5,8,9	$(2^4-1) \times (2^{-2})^{16} \approx 2^{-28}$

2) 猜测  $RK^{(8)}$  的 4 个密钥字 (共 16bit)

$RK_3^{(8)}, RK_5^{(8)}, RK_9^{(8)}, RK_{13}^{(8)}$ , 计算  $Q_j^{(i)} = \gamma^{-1}(P64^{-1}(C_i) \oplus RK_j^{(8)})$ ,  $j \in \{3, 5, 9, 13\}$ 。

3) 计算  $T^i = P64^{-1}(Q^{(i)})$ , 猜测  $RK^{(7)}$  的一个密钥字  $RK_{11}^{(7)}$ , 计算  $t = S^{-1}(T_{11}^i \oplus RK_{11}^{(7)})$ 。

4) 判断  $t$  是否为 0, 若  $t=0$ , 则猜测的  $RK_3^{(8)}, RK_5^{(8)}, RK_9^{(8)}, RK_{13}^{(8)}, RK_{11}^{(7)}$  正确, 否则, 淘汰。

5) 重新选取一组明文, 重复上述步骤, 直到唯一确定  $RK_3^{(8)}, RK_5^{(8)}, RK_9^{(8)}, RK_{13}^{(8)}$  和  $RK_{11}^{(7)}$ 。

复杂度分析: 实际攻击时可以根据表 3 从上到下(利用的平衡位置由多到少)对密钥字进行筛选, 即攻击共需进行 11 次筛选。表 3 中  $RK^{(8)}$  对列粗体标注的表示此密钥字已经唯一确定; 第 4 列给出了当使用 16 组明文进行攻击时, 各次筛选中错误密钥剩余个数的期望值  $\bar{N}, \bar{N} \leq 2^{-24} < 1$ , 可认为当使用 16 组明文进行分析时, 可将表 4 中涉及  $RK^{(7)}$  的 11 个密钥字和  $RK^{(8)}$  的 14 个密钥字共 100bit 信息唯一确定。因此攻击的数据复杂度为  $2^{16} \times 16 \approx 2^{20}$ 。11 次筛选过程需猜测密钥字个数不同(其中需猜测 5 个、4 个和 3 个密钥字的各 1 次, 有 5 次筛选需猜测 2 个密钥字, 3 次需猜测 1 个密钥字), 所以攻击的时间复杂度为  $2^{20} \times (2^{4 \times 5} + 2^{4 \times 4} + 2^{4 \times 3} + 5 \times 2^{4 \times 2} + 3 \times 2^{4 \times 1}) \approx 2^{40}$  次查表, 这相当于  $2^{40} / (8 \times 16) = 2^{33}$  次 8 轮加密。另外, 为存储密钥, 攻击需要对猜测的密钥字进行存储, 存储复杂度为  $(2^{4 \times 5} + 2^{4 \times 4} + 2^{4 \times 3} + 5 \times 2^{4 \times 2} + 3 \times 2^{4 \times 1}) \approx 2^{20}$ 。

实验及结果: 在 PC 机上利用 C++ (Visual C++ 6.0) 编程模拟了密钥筛选过程。实验中每组明文的常数值随机生成, 首先考虑当 11 次筛选均对 20bit 轮密钥进行筛选时(重复筛选), 共做了 500 次模拟实验, 统计唯一确定 20bit 密钥平均所需的明文组数。实验结果如图 4 所示。

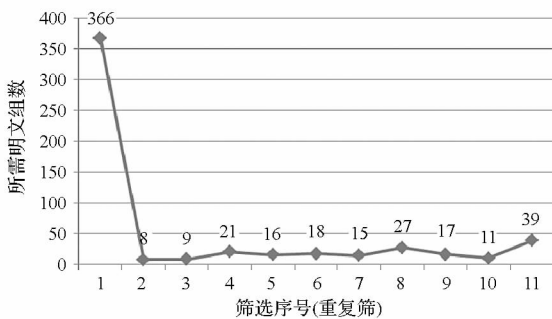


图 4 唯一确定密钥所需明文组数(重复筛选时)

Fig. 4 Group number of plaintexts to find the right key (when each filtration works on 20bit keys)

若在筛选过程中, 已经确定的密钥字不再重

新筛选(不重复筛), 统计唯一确定猜测密钥字所需的明文组数。图 5 所示为 500 次模拟实验的平均结果。

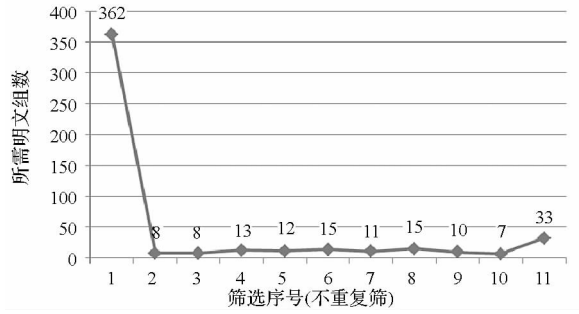


图 5 唯一确定密钥所需明文组数(不重复筛选时)  
Fig. 5 Group number of plaintexts to find the right key (when filtrating step by step)

实验结果显示, 大部分筛选使用约 16 组明文即可唯一确定正确密钥(攻击时可按照所需明文组数由少到多的顺序进行筛选, 保证前面的筛选能够将密钥字唯一确定)。当使用平衡位置  $\{56, 59\}$  以及  $\{44, 45, 46, 47\}$  进行筛选时, 需要的明文组较多, 这主要是由于这些平衡位置比较特殊, 对于猜测的  $RK^{(7)}$  密钥字的所有可能取值, 这些位置以较大概率保持平衡, 所以在确定正确密钥过程中需要的明文组数很多。

### 3 结论

利用基于比特的积分思想对 PUFFIN 算法进行了积分分析, 构造并证明了算法存在 5 轮和 6 轮积分区分器, 对 8 轮 PUFFIN 算法进行了积分攻击。构造的积分区分器输出的平衡位置较多, 因此对 8 轮 PUFFIN 算法进行积分攻击时效率较高, 恢复 100bit 轮密钥所需的数据复杂度为  $2^{20}$  个选择明文, 时间复杂度为  $2^{33}$  次 8 轮加密, 存储复杂度为  $2^{20}$ 。

### 参考文献(References)

[1] Hong D, Sung J, Hong S, et al. HIGHT: a new block cipher suitable for low-resource device [C] // Proceedings of Cryptographic Hardware and Embedded Systems, 2006, 4249: 46 - 59.

[2] Wu W L, Zhang L. LBlock: a lightweight block cipher [C] // Proceedings of Applied Cryptography and Network Security, 2011, 6715: 327 - 344.

[3] Guo J, Peyrin T, Poschmann A, et al. The LED block cipher [C] // Proceedings of Cryptographic Hardware and Embedded Systems, 2011, 6917: 326 - 341.

[4] Bogdanov A, Knudsen L, Leander G, et al. PRESENT: an ultra-lightweight block cipher [C] // Proceedings of Cryptographic Hardware and Embedded Systems, 2007, 4727: 450 - 466.

[5] Cheng H, Heys H, Wang C. PUFFIN: a novel compact block

- cipher targeted to embedded digital systems [C] // Proceedings of 11<sup>th</sup> EUROMICRO Conference on Digital System Design: Architectures, Methods and Tools, 2008: 383–390.
- [6] Biham E, Shamir A. Differential cryptanalysis of DES-like cryptosystems[C] // Proceedings of Advances in Cryptology: CRYPTO'90, 1990, 537: 2–21.
- [7] Matsui M. Linear cryptanalysis method for DES cipher[C] // Proceedings of Advances in Cryptology: EUROCRYPT '93, 1993, 765: 386–397.
- [8] Biham E. New type of cryptanalytic attacks using related keys[J]. Journal of Cryptology, 1994, 7(4): 229–246.
- [9] Moore J H, Simmons G J. Cycle structure of the DES for keys having palindromic (or antipalindromic) sequences of round keys[J]. IEEE Transactions on Software Engineering, 1987, 13(2): 262–273.
- [10] Leander G. On linear hulls, statistical saturation attacks, PRESENT and a cryptanalysis of PUFFIN[C] // Proceedings of Advances in Cryptology-EUROCRYPT, 2011, 6632: 303–322.
- [11] 魏悦川, 孙兵, 李超. 一种 PUFFIN 类 SPN 型分组密码的积分攻击[J]. 国防科技大学学报, 2010, 32(3): 139–143.
- WEI Yuechuan, SUN Bing, LI Chao. An integral attack on PUFFIN and PUFFIN-like SPN cipher [J]. Journal of National University of Defense Technology, 2010, 32(3): 139–143. (in Chinese)
- [12] Knudsen L, Wagner D. Integral cryptanalysis [C] // Proceedings of Fast Software Encryption, 2002, 2365: 112–127.
- [13] Lei D, Li C, Feng K Q. New observation on camellia[C] // Proceedings of Selected Areas in Cryptography, 2005, 3897: 51–64.
- [14] 王薇, 王小云. 对 CLEFIA 算法的饱和度分析[J]. 通信学报, 2008, 29(10): 88–92.
- WANG Wei, WANG Xiaoyun. Saturation cryptanalysis of CLEFIA[J]. Journal on Communications, 2008, 29(10): 88–92. (in Chinese)
- [15] Z'aba M R, Raddum H, Henricksen M, et al. Bit-pattern based integral attack [C] // Proceedings of Fast Software Encryption, 2008, 5086: 363–381.
- [16] 李超, 孙兵, 李瑞林. 分组密码的攻击方法与实例分析[M]. 北京: 科学出版社, 2010.
- LI Chao, SUN Bing, LI Ruilin. Cryptanalytic methods and instance analysis of block ciphers [M]. Beijing: Science Press, 2010. (in Chinese)

---

(上接第 120 页)

- [6] Li H D. A practical algorithm for  $L_\infty$  triangulation with outliers[C] // Proceedings of IEEE Conference on Computer Vision and Pattern Recognition (CVPR), New York, IEEE, 2007: 1–8.
- [7] Seo Y, Lee H, Lee S W. Outlier removal by convex optimization for  $L_\infty$  approaches [C] // Proceedings of Pacific Rim Symposium on Image and Video Technology (PSIVT), Berlin, Springer, 2009: 203–214.
- [8] Ke Q F, Kanade T. Quasiconvex optimization for robust geometric reconstruction [J]. IEEE Transactions on Pattern Analysis and Machine Intelligence, 2007, 29(10): 1834–1847.
- [9] Csurka G, Zeller C, Zhang Z Y, et al. Characterizing the uncertainty of the fundamental matrix[J]. Computer Vision and Image Understanding, 1997, 68(1): 18–36.
- [10] Lavine M. Introduction to statistical thought[M]. Tallahassee, USA: Orange Grove Texts Plus, 2009.
- [11] Silverman B W. Density estimation: for statistics and data analysis[M]. London, UK: Chapman and Hall, 1986.
- [12] Wang H Z, Suter D. Robust adaptive-scale parametric model estimation for computer vision [J]. IEEE Transactions on Pattern Analysis and Machine Intelligence, 2004, 26(11): 1459–1474.
- [13] Lowe D G. Distinctive image features from scale-invariant keypoints [J]. International Journal of Computer Vision, 2004, 60(2): 91–110.
- [14] Triggs B, McLauchlan P F, Hartley R I, et al. Bundle adjustment—a modern synthesis [C] // Proceedings of ICCV'99: Proceedings of the International Workshop on Vision Algorithms: Theory and Practice, London, Springer Verlag, 2000: 298–375.